

lncRNA CASC11靶向调节miR-498对胃癌细胞增殖、凋亡、迁移和侵袭的影响

赵维波* 孔令甲 岳宗柱 朱玉森

(聊城市第二人民医院, 消化内科, 聊城 252600)

摘要 该文探讨长链非编码RNA(lncRNA)癌症易感性候选物11(CASC11)对胃癌(GC)细胞增殖、凋亡、迁移和侵袭的影响及分子机制。体外培养正常人胃黏膜细胞系(GES-1)和人GC细胞系(MKN-45、KATOIII、MKN7和HGC-27), 实时荧光定量逆转录聚合酶链反应(RT-qPCR)检测细胞中CASC11、miR-498(microRNA-498)和LIN28B mRNA的表达情况。将MKN7细胞分为对照组(NC组)、si-NC组、si-CASC11组、si-CASC11+anti-NC组、si-CASC11+anti-miR-498组, 使用Lipofectamine 3000转染试剂将si-CASC11、si-NC、miR-498 inhibitor、inhibitor-NC转染到细胞中。转染后, RT-qPCR检测细胞中CASC11、miR-498、LIN28B mRNA的表达情况, Western blot检测细胞中LIN28B蛋白的表达情况, CCK-8法检测细胞增殖活性, 流式细胞术检测细胞凋亡, Transwell实验检测细胞迁移、侵袭能力。双荧光素酶和RNA免疫沉淀(RIP)实验验证CASC11和miR-498的相互关系。BALB/c裸鼠移植瘤实验检测沉默CASC11在体内的抑瘤作用。结果显示, CASC11和LIN28B在GC细胞中过表达, miR-498在GC细胞中低表达($P<0.05$)。敲低CASC11可显著上调miR-498表达, 抑制LIN28B的mRNA和蛋白表达, 抑制GC细胞的增殖、迁移和侵袭, 诱导GC细胞凋亡($P<0.05$); 体内实验证实, 敲低CASC11可抑制体内裸鼠移植瘤的生长($P<0.05$)。下调miR-498, 可增加LIN28B表达水平, 减弱CASC11沉默对GC细胞恶性生物学行为和体内移植瘤生长的抑制作用($P<0.05$)。双荧光素酶和RIP实验证实miR-498是CASC11的潜在靶标。该研究得出, CASC11可能通过充当miR-498的海绵来促进LIN28B表达, 从而影响GC细胞增殖、凋亡、迁移和侵袭。

关键词 胃癌; 长链非编码RNA癌症易感性候选物11; microRNA-498; 增殖; 凋亡; 迁移; 侵袭

Influences of lncRNA CASC11 on Proliferation, Apoptosis, Migration and Invasion of Gastric Cancer Cells by Targeting miR-498

ZHAO Weibo*, KONG Lingjia, YUE Zongzhu, ZHU Yusen

(Department of Gastroenterology, the Second People's Hospital of Liaocheng, Liaocheng 252600, China)

Abstract This paper discusses the effect of lncRNA (long non-coding RNA) CASC11 (cancer susceptibility candidate 11) on the proliferation, apoptosis, migration and invasion of GC (gastric cancer) cells and the molecular mechanism. Normal human gastric mucosal cell lines (GES-1) and human GC cell lines (MKN-45, KATOIII, MKN7 and HGC-27) were cultured *in vitro*. The expressions of CASC11, miR-498 (microRNA-498) and LIN28B mRNA in the cells were detected by RT-qPCR (real-time quantitative reverse transcription polymerase chain reaction). MKN7 cells were divided into control group (NC group), si-NC group, si-CASC11 group, si-CASC11+anti-NC group, and si-CASC11+anti-miR-498 group. si-CASC11, si-NC, miR-498 inhibitor, and inhibitor-NC were

收稿日期: 2022-11-29 接受日期: 2023-02-09

*通讯作者。Tel: 15865750390, E-mail: bvfkcom@163.com

Received: November 29, 2022 Accepted: February 9, 2023

*Corresponding author. Tel: +86-15865750390, E-mail: bvfkcom@163.com

transfected into cells using Lipofectamine 3000 transfection reagent. After transfection, RT-qPCR were used to detect the expressions of CASC11, miR-498 and *LIN28B* mRNA in cells. Western blot was used to detect the protein expressions of *LIN28B* in cells. Cell proliferation activity was detected by CCK-8 assay. Apoptosis was detected by flow cytometry. Transwell assay was used to detect cell migration and invasion abilities. Dual-luciferase and RIP (RNA immunoprecipitation) experiments were used to verify the relationship between CASC11 and miR-498. The effect of CASC11 silence on the growth of MKN7 cells *in vivo* was detected in BALB/c nude mouse transplantation experiment. The results show that, CASC11 and *LIN28B* were overexpressed in GC cells, and miR-498 was underexpressed in GC cells ($P<0.05$). Knockdown of CASC11 could significantly up-regulate miR-498, inhibiting the mRNA and protein expression of *LIN28B*, inhibiting the proliferation, migration and invasion of GC cells, and inducing GC cell apoptosis ($P<0.05$); *in vivo* experiments confirmed that knockdown of CASC11 could inhibit the growth of transplanted tumors in nude mice ($P<0.05$). Down-regulating the expression of miR-498 could reduce the inhibitory effect of CASC11 silence on proliferation, migration and invasion of GC cells and the growth of transplanted tumors *in vivo* by increasing the expression of *LIN28B* ($P<0.05$). Dual-luciferase and RIP experiments confirmed that miR-498 was a potential target of CASC11. The study concluded that, CASC11 might promote *LIN28B* expression by acting as a sponge for miR-498, thereby affecting the proliferation, apoptosis, migration and invasion of GC cells.

Keywords 胃癌; long non-coding RNA cancer susceptibility candidate 11; microRNA-498; proliferation; apoptosis; migration; invasion

胃癌(gastric cancer, GC)是消化系统常见的恶性肿瘤,也是癌症相关死亡的主要原因之一^[1]。尽管免疫治疗和靶向治疗等GC新兴疗法的出现使GC治疗取得了显著进展,但大多数GC患者通常在治疗有限的晚期才被诊断出来,患者的五年总生存率仍不理想^[2]。因此,深入了解GC发展的分子机制可能有助于发现潜在的诊断及治疗靶点。

长链非编码RNA(long non-coding RNA, lncRNA)可被视为一种生物标志物,对GC早期筛查和诊断具有重要意义^[3]。癌症易感性候选物11(cancer susceptibility candidate 11, CASC11)作为一种lncRNA,在各种肿瘤中过表达,可调节肿瘤生物学过程^[4]。据报道,CASC11在GC组织和细胞系中高度表达,其过表达可促进GC细胞的侵袭和迁移,且CASC11的高表达与较大的肿瘤直径、淋巴结转移显著相关,而敲除CASC11可抑制GC细胞增殖,促进细胞凋亡^[5-6]。这表明CASC11可作为GC的重要诊断因子和治疗靶点。然而,关于CASC11在GC中作用的研究仍很少,其作用机制尚不明确。

CASC11可作为内源性海绵调节miRNA(microRNA)的表达和功能,进而调控靶基因表达。通过生物信息学数据库对CASC11的潜在靶标进行预测发现,miR-498(microRNA-498)与CASC11之间存在结合

位点。miR-498已被报道在GC组织和细胞系中呈低表达,在GC中起肿瘤抑制作用,与患者的预后相关^[7-8]; *LIN28B*是近年新发现的一个与肿瘤发生发展相关的基因,其异常表达可促进肿瘤发生发展。*LIN28B*为miR-498的下游基因,miR-498的过表达可下调*LIN28B*,抑制GC细胞的增殖、迁移与侵袭^[8]。基于以上研究,笔者推测CASC11可能通过海绵化miR-498发挥其致癌活性,并对此展开了研究。

1 材料与方法

1.1 材料

1.1.1 细胞 正常人胃黏膜细胞系GES-1(货号为EC-H285)和人GC细胞系MKN-45(货号为CL-0292)、KATOIII(货号为CL-0372)、MKN7(货号为CL-0574)和HGC-27(货号为CL-0107)购自武汉普诺赛生命科技有限公司。GES-1和MKN7细胞在含有10%胎牛血清(fetal bovine serum, FBS)、100 U/mL青霉素和100 mg/mL链霉素的RPMI-1640中培养,KATOIII细胞在含10% FBS+1%青霉素/链霉素的IMDM中培养,MKN-45和HGC-27细胞在含有10% FBS、100 U/mL青霉素和100 mg/mL链霉素的DMEM中,均于37 °C、5% CO₂条件下培养。

1.1.2 主要试剂与仪器 靶向CASC11的小分子

干扰RNA(siRNA) si-CASC11、miR-498 mimic、miR-498 inhibitor及其阴性对照(si-NC、miR-NC、inhibitor-NC)购自广州锐博生物科技有限公司。CCK-8细胞增殖检测试剂盒(货号CA1210)、膜联蛋白V(Annexin-V)-异硫氰酸荧光素(fluorescein isothiocyanate, FITC)/碘化丙啶(propidium iodide, PI)细胞凋亡检测试剂盒(货号CA1020)购自北京索莱宝生物科技有限公司;兔源一抗LIN28B(货号ab262859)、 β -肌动蛋白(β -actin)抗体(货号ab5694)购自英国Abcam公司;双荧光素酶测定试剂盒(货号E1910)购自美国Promega公司;Magna RIP试剂盒(货号17-700)购自美国Millipore公司。ABI Prism® 7500型实时荧光定量逆转录聚合酶链反应(real-time quantitative reverse transcription polymerase chain reaction, RT-qPCR)仪购自美国Applied Biosystems公司;FACS Calibur流式细胞仪购自美国BD公司;Nikon Eclipse Ti-S倒置显微镜购自日本Nikon公司。

1.2 方法

1.2.1 RT-qPCR检测细胞中 CASC11、miR-498 和 *LIN28B* mRNA的表达水平 通过使用 Trizol试剂从细胞中提取总RNA, 使用 PrimeScript™ RT Reagent Kit从总RNA中获得cDNA, 以检测CASC11和*LIN28B* mRNA表达水平, 结果被标准化为GAPDH表达。为了检查miR-498的表达, 使用TaqMan MicroRNA Reverse Transcription Kit进行逆转录, 并将结果标准化为U6表达。RT-qPCR和数据收集通过ABI Prism® 7500型RT-qPCR仪进行。使用 $2^{-\Delta Ct}$ 方法计算目的基因的相对表达水平。引物序列见表1。

1.2.2 细胞转染 将MKN7细胞以 2×10^5 个/孔的密度接种在6孔板中并在37 °C、5% CO₂条件下培养过夜。在无血清培养基中使用Lipofectamine 3000转染试剂将si-CASC11、si-NC、miR-498 inhibitor、inhibitor-NC转染到细胞中。实验分为: 对照组(NC组, 无转

染)、si-NC组(转染 si-CASC11阴性对照 si-NC)、si-CASC11组(转染 si-CASC11)、si-CASC11+anti-NC组(si-CASC11和miR-498 inhibitor阴性对照 inhibitor-NC共转染至MKN7细胞)、si-CASC11+anti-miR-498组(si-CASC11和miR-498 inhibitor共转染至MKN7细胞)。转染后6 h向细胞中加入完全培养基, 继续培养48 h。收集各组细胞, RT-qPCR检测细胞中CASC11、miR-498 和*LIN28B* mRNA的表达水平, 检测步骤同1.2.1。

1.2.3 Western blot检测细胞中LIN28B蛋白表达情况 使用RIPA裂解液从培养的细胞中提取蛋白质, 然后通过二辛可宁酸测定试剂盒检测蛋白质浓度。用SDS-PAGE凝胶电泳分离等量的蛋白质, 然后将蛋白质转移到PVDF膜上。使用脱脂奶粉(5%)在37 °C下封闭膜1 h。用LIN28B(1:1 000)和 β -actin(1:1 000)一抗在4 °C下对膜进行过夜孵育, 然后将膜与HRP偶联的二抗(1:5 000)室温孵育2 h。增强型化学发光试剂盒显影, ImageJ软件测定蛋白条带的灰度值, 通过与内参(β -actin)的灰度值比, 计算目的蛋白的相对表达量。

1.2.4 CCK-8法检测细胞增殖活性 将MKN7细胞(2×10^3 个/孔)接种到96孔板中并在37 °C条件下培养。转染24、48和72 h后, 将CCK-8试剂(10 μ L/孔)添加到96孔板中, 并与细胞在37 °C下孵育2 h。孵育后, 使用酶标仪测量每个孔在波长为450 nm处的吸光度(D)值。

1.2.5 流式细胞术检测细胞凋亡率 按照1.2.2的方式处理后收集细胞, PBS洗涤后将细胞重悬于1×结合缓冲液中。然后, 将细胞(5×10^5 个细胞)在37 °C、黑暗中用5 μ L Annexin-V-FITC和5 μ L PI染色15 min。通过流式细胞术检测细胞凋亡率。早期和晚期细胞凋亡百分比之和(“右下象限+右上象限”)为细胞凋亡率。

1.2.6 Transwell实验检测细胞迁移、侵袭能力

表1 RT-qPCR引物序列

Table 1 RT-qPCR primer sequences

基因	正向引物(5'→3')	反向引物(5'→3')
Gene	Forward primer (5'→3')	Reverse primer (5'→3')
CASC11	GCT GCA GAA GGT CCG AAG AA	TTC ACC ACG TCC AGT TGC TT
<i>LIN28B</i>	AGC AAA GGT GGT GGA GAA GA	TCT CGG TTT ATC ATG GAG ATG
GAPDH	GGA AAG CTG TGG CGT GAT	AAG GTG GAA GAA TGG GAG TT
miR-498	GGT TTG AAG CCA GGC GGT TTC	CAG TGC AGG GTC CGA GGT AT
<i>U6</i>	CTC GCT TCG GCA GCA CA	AAC GCT TCA CGA ATT TGC GT

Transwell迁移实验, 收集转染的细胞重悬于无血清培养基中, 并以 1×10^5 个/孔的密度接种到Transwell小室($8\text{ }\mu\text{m}$)上层中, $200\text{ }\mu\text{L}/\text{孔}$ 。下室加入 $600\text{ }\mu\text{L}$ 含10%FBS的培养基。将细胞在 $37\text{ }^\circ\text{C}$ 下培养24 h。然后, 用棉签去除膜上表面的细胞, 用4%多聚甲醛固定下层细胞, 室温固定30 min, 并在室温下用1%结晶紫染色30 min。在倒置显微镜下计数迁移的细胞数。细胞侵袭实验, 将稀释的基质胶添加到Transwell小室上室中, 并在 $37\text{ }^\circ\text{C}$ 下聚合30 min。将转染的细胞以 1×10^5 个/孔的密度接种到上室中, 下室加入 $600\text{ }\mu\text{L}$ 完全培养基。其余步骤同Transwell迁移实验, 在倒置显微镜下计数侵袭的细胞数。每孔随机选择五个视野, 计算迁移/侵袭的细胞数量, 取平均值。

1.2.7 双荧光素酶报告基因测定 使用StarBase v2.0数据库(<https://starbase.sysu.edu.cn/index.php>)预测CASC11和miR-498的结合位点。GenePharma开发并生产了具有野生型(WT)和突变型(MUT)miR-498相互作用位点的CASC11片段, 将CASC11的WT或MUT片段插入包含海肾荧光素酶的pmirGLO载体中以构建WT-CASC11和MUT-CASC11报告质粒。将MKN7细胞(1×10^5 个/孔)接种在24孔板中培养至80%融合, 再将其分为miR-NC组和miR-498 mimic组, 使用Lipofectamine 3000将WT-CASC11、MUT-CASC11分别与miR-NC、miR-498 mimic共转染MKN7细胞。转染后48 h收集处理的细胞, 使用双荧光素酶测定试剂盒检测荧光素酶活性。使用海肾荧光素酶活性对数据进行标准化。

1.2.8 RNA免疫沉淀(RNA immunoprecipitation, RIP)测定 使用Magna RIP试剂盒进行RIP测定。用RIP裂解缓冲液收集和裂解细胞。然后, 将全细胞裂解物与含有磁珠的RIP缓冲液一起在 $4\text{ }^\circ\text{C}$ 下孵育24 h, 该磁珠已与人抗Ago2抗体或作为阴性对照的正常小鼠IgG结合。随后, 进行磁珠的收集, 然后分离免疫沉淀的RNA。最后, 进行RT-qPCR对免疫沉淀的RNA进行提取、纯化和分析, 以评估CASC11和miR-498的富集情况。

1.2.9 体内动物研究 4~6周龄雄性BALB/c裸鼠(体质量为 $21\text{ g}\sim25\text{ g}$)购自Slac实验动物有限公司(中国上海), 生产许可证号为SCXK(沪)2022-0004, 动物质量合格证号为1107252011001145。本研究经聊城市第二人民医院动物伦理委员会批准(批准文号IA-CUC-202201003)。将裸鼠分为si-NC组、si-CASC11

组、si-CASC11+anti-NC组和si-CASC11+anti-miR-498组, 每组5只。将稳定转染si-CASC11、miR-498 inhibitor及其阴性对照(si-NC、inhibitor-NC)的MKN7细胞皮下注射到裸鼠体内(2×10^6 个/只)。每周评估一次肿瘤大小, 并使用以下公式计算肿瘤体积, $V=0.5\times L\times S^2$, V 为肿瘤体积、 L 为长径、 S 为短径。4周后, 收集肿瘤组织并称重。

1.2.10 免疫组织化学(IHC)法检测肿瘤内Ki-67的表达情况 将肿瘤组织用4%多聚甲醛固定后包埋在石蜡中, 并切成 $4\text{ }\mu\text{m}$ 厚的切片。经脱蜡、水化后, 将切片与0.3% H_2O_2 一起在 $37\text{ }^\circ\text{C}$ 下孵育30 min以消除内源性过氧化物酶活性。用0.1% Triton X-100处理30 min并用5%正常山羊血清在 $37\text{ }^\circ\text{C}$ 下封闭30 min后, 与Ki-67(1:200)抗体一起在 $4\text{ }^\circ\text{C}$ 下孵育过夜, 然后将切片与二抗(1:200)在室温下孵育30 min。DAB室温孵育5 min后, 切片用苏木精复染30 s。最后, 在显微镜下拍照, 并用Image-Pro Plus 6.0软件计数Ki-67阳性细胞。

1.2.11 统计量学方法 计量资料以($\bar{x}\pm s$)表示, 统计量学分析使用GraphPad Prism 8.0软件。多组间比较采用单因素方差分析, 组间两两比较采用SNK-q检验。以 $P<0.05$ 为差异有统计学意义。

2 结果

2.1 人GC细胞系中CASC11、miR-498和LIN28B mRNA水平比较

与GES-1细胞相比, 人GC细胞系(MKN-45、KATOIII、MKN7和HGC-27)中CASC11、LIN28B mRNA水平显著升高, miR-498 mRNA水平显著降低($P<0.05$); 其中, MKN7细胞中CASC11、LIN28B mRNA水平明显高于其他细胞系, miR-498 mRNA水平明显低于其他细胞系, 因此选择MKN7细胞进行后续实验(表2)。

2.2 各组MKN7细胞中CASC11、miR-498和LIN28B水平比较

与NC组相比, si-NC组CASC11、miR-498、LIN28B mRNA和LIN28B蛋白水平差异无统计学意义($P>0.05$), si-CASC11组CASC11、LIN28B mRNA和LIN28B蛋白水平显著降低, miR-498水平显著升高($P<0.05$); 与si-CASC11组相比, si-CASC11+anti-NC组上述指标表达差异无统计学意义($P>0.05$), si-CASC11+anti-miR-498组LIN28B mRNA和LIN28B蛋白水平显著升高, miR-498水平显著降低($P<0.05$)(图1和表3)。

2.3 各组MKN7细胞增殖活性比较

转染48、72 h时,与NC组相比, si-NC组细胞增殖活性差异无统计学意义($P>0.05$), si-CASC11组细胞增殖活性显著降低($P<0.05$);与si-CASC11组相比, si-CASC11+anti-NC组细胞增殖活性差异无统计学意义($P>0.05$), si-CASC11+anti-miR-498组细胞增殖活性显著升高($P<0.05$)(表4)。

2.4 各组MKN7细胞凋亡率比较

与NC组相比, si-NC组细胞凋亡率差异无统计学意义($P>0.05$), si-CASC11组细胞凋亡率显著升高($P<0.05$);与si-CASC11组相比, si-CASC11+anti-NC组细胞凋亡率差异无统计学意义($P>0.05$), si-

CASC11+anti-miR-498组细胞凋亡率显著降低($P<0.05$)(图2和表5)。

2.5 各组MKN7细胞迁移、侵袭能力比较

与NC组相比, si-NC组迁移、侵袭的细胞数量差异无统计学意义($P>0.05$), si-CASC11组迁移、侵袭的细胞数量显著降低($P<0.05$);与si-CASC11组相比, si-CASC11+anti-NC组迁移、侵袭的细胞数量差异无统计学意义($P>0.05$), si-CASC11+anti-miR-498组迁移、侵袭的细胞数量显著增加($P<0.05$)(图3和表6)。

2.6 miR-498是GC细胞中CASC11的直接靶标

StarBase数据库预测显示, miR-498包含CASC11的结合序列(图4)。双荧光素酶结果显示,

表2 不同GC细胞中CASC11、miR-498和LIN28B mRNA水平比较

Table 2 Comparison of CASC11, miR-498 and LIN28B mRNA levels in different GC cells

细胞 Cells	CASC11 mRNA	miR-498 mRNA	LIN28B mRNA
GES-1	1.00±0.09	1.01±0.12	0.98±0.10
MKN-7	4.71±0.52*	0.23±0.04*	3.65±0.41*
MKN-45	2.62±0.34**	0.44±0.05**	2.30±0.27**
KATOIII	1.59±0.27**	0.75±0.08**	1.49±0.23**
HGC-27	2.18±0.29**	0.62±0.07**	1.81±0.25**

n=6; *P<0.05, 与GES-1细胞相比; **P<0.05, 与MKN-7细胞相比。

n=6; *P<0.05 compared with GES-1 cells; **P<0.05 compared with MKN-7 cells.

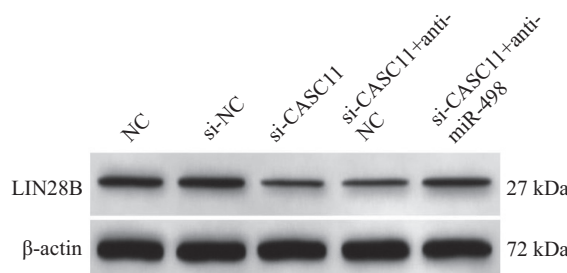


图1 各组MKN7细胞中LIN28B蛋白表达

Fig.1 LIN28B protein expression in MKN7 cells in each group

表3 各组MKN7细胞中CASC11、miR-498、LIN28B mRNA和LIN28B蛋白水平比较

Table 3 Comparison of CASC11, miR-498, LIN28B mRNA and LIN28B protein levels in MKN7 cells in each group

组别 Group	CASC11	miR-498	LIN28B mRNA	LIN28B蛋白 LIN28B protein
NC	1.02±0.09	0.99±0.10	1.00±0.12	0.54±0.07
si-NC	1.01±0.10	1.03±0.14	1.04±0.11	0.57±0.06
si-CASC11	0.36±0.06**	3.25±0.35**	0.41±0.06**	0.23±0.04**
si-CASC11+anti-NC	0.35±0.05**	3.30±0.37**	0.38±0.05**	0.21±0.03**
si-CASC11+anti-miR-498	0.39±0.06**	1.29±0.18**	0.75±0.09**	0.42±0.06**

n=6; *P<0.05, 与NC组相比; **P<0.05, 与si-NC组相比; ^P<0.05, 与si-CASC11组相比; △P<0.05, 与si-CASC11+anti-NC组相比。

n=6; *P<0.05 compared with NC group; **P<0.05 compared with si-NC group; ^P<0.05 compared with si-CASC11 group; △P<0.05 compared with si-CASC11+anti-NC group.

表4 各组MKN7细胞增殖活性比较
Table 4 Comparison of MKN7 cell proliferation activity in each group

组别 Group	细胞增殖活性 D_{450} Cell proliferation activity D_{450}		
	24 h	48 h	72 h
NC	0.24±0.04	0.53±0.05	0.76±0.07
si-NC	0.26±0.05	0.57±0.06	0.79±0.09
si-CASC11	0.20±0.03	0.32±0.05*#	0.44±0.05*#
si-CASC11+anti-NC	0.21±0.03	0.35±0.04*#	0.46±0.06*#
si-CASC11+anti-miR-498	0.23±0.04	0.47±0.05*#&△	0.68±0.07*#&△

$n=6$; * $P<0.05$, 与NC组相比; # $P<0.05$, 与si-NC组相比; & $P<0.05$, 与si-CASC11组相比; △ $P<0.05$, 与si-CASC11+anti-NC组相比。

$n=6$; * $P<0.05$ compared with NC group; # $P<0.05$ compared with si-NC group; & $P<0.05$ compared with si-CASC11 group; △ $P<0.05$ compared with si-CASC11+anti-NC group.

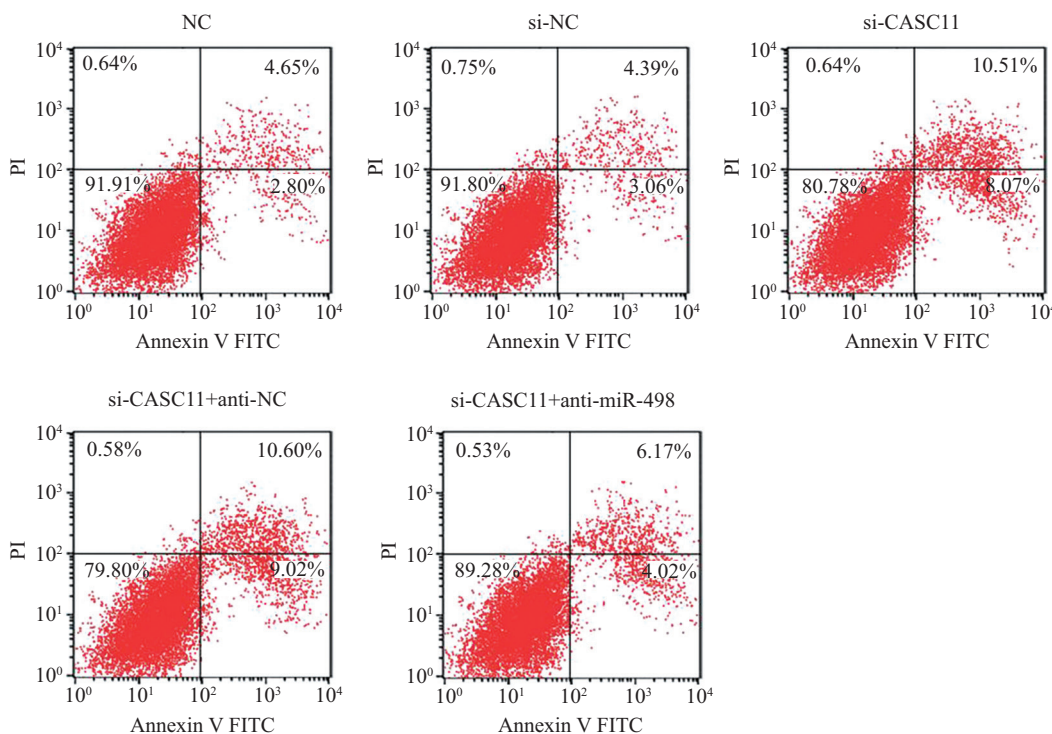


图2 各组MKN7细胞凋亡水平
Fig.2 MKN7 cell apoptosis level in each group

表5 各组MKN7细胞凋亡水平比较
Table 5 Comparison of MKN7 cell apoptosis levels in each group

组别 Group	细胞凋亡率/% Cell apoptosis rate /%	
	NC	7.41±0.86
si-NC		7.35±0.82
si-CASC11		18.56±2.07*#
si-CASC11+anti-NC		19.12±2.23*#
si-CASC11+anti-miR-498		10.08±1.61*△

$n=6$; * $P<0.05$, 与NC组相比; # $P<0.05$, 与si-NC组相比; & $P<0.05$, 与si-CASC11组相比; △ $P<0.05$, 与si-CASC11+anti-NC组相比。

$n=6$; * $P<0.05$ compared with NC group; # $P<0.05$ compared with si-NC group; & $P<0.05$ compared with si-CASC11 group; △ $P<0.05$ compared with si-CASC11+anti-NC group.

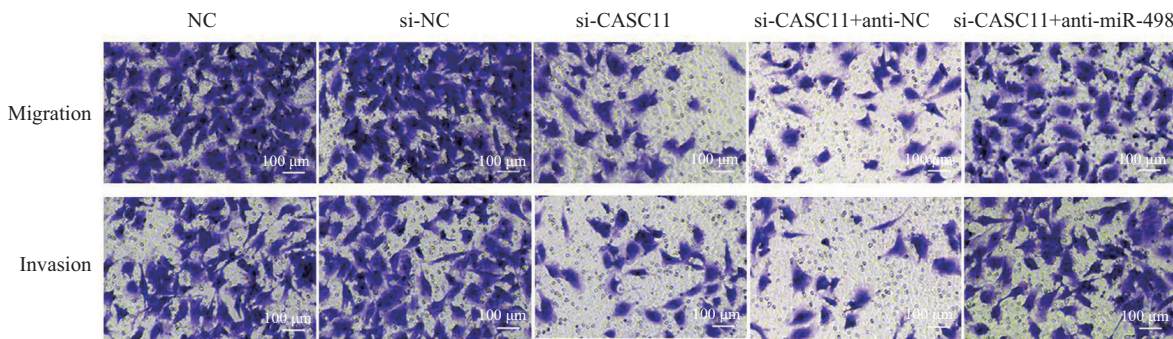


图3 各组MKN7细胞迁移、侵袭能力

Fig.3 Migration and invasion abilities of MKN7 cells in each group

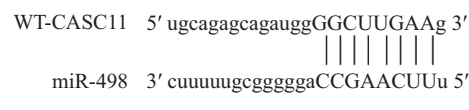
表6 各组MKN7细胞迁移、侵袭细胞数量比较

Table 6 Comparison of the number of MKN7 cells migration and invasion in each group

组别 Group	迁移细胞数量(个/视野) Number of migration cells (number/visual field)	侵袭细胞数量(个/视野) Number of invasion cells (number/visual field)
NC	136.25±18.60	109.02±13.47
si-NC	141.34±20.12	115.69±16.82
si-CASC11	49.70±6.58*#	36.74±5.20*#
si-CASC11+anti-NC	45.91±7.03*#	32.38±5.16*#
si-CASC11+anti-miR-498	101.52±15.86*#&△	84.10±12.79*#&△

n=6; *P<0.05, 与NC组相比; #P<0.05, 与si-NC组相比; ^P<0.05, 与si-CASC11组相比; △P<0.05, 与si-CASC11+anti-NC组相比。

n=6; *P<0.05 compared with NC group; #P<0.05 compared with si-NC group; ^P<0.05 compared with si-CASC11 group; △P<0.05 compared with si-CASC11+anti-NC group.



红色表示突变位点。

Red represents mutation site.

图4 CASC11与miR-498的结合位点预测

Fig.4 Prediction of binding sites of CASC11 and miR-498

表7 双荧光素酶报告基因测定法测定荧光素酶活性

Table 7 Determination of luciferase activity by double luciferase reporter gene assay

组别 Group	荧光素酶活性 Luciferase activity	
	WT-CASC11	MUT-CASC11
miR-NC	1.01±0.12	1.03±0.10
miR-498 mimic	0.34±0.05	1.01±0.11
t	12.624	0.330
P	0.000	0.749

n=6.

与miR-NC相比, 转染miR-498 mimic可显著降低含WT-CASC11质粒细胞的荧光素酶活性($P<0.05$), 对含MUT-CASC11质粒细胞的荧光素酶活性无明显影响($P>0.05$)(表7); RIP检测结果显示, 与IgG抗体相

比, CASC11和miR-498可被Ago2抗体富集(表8)。

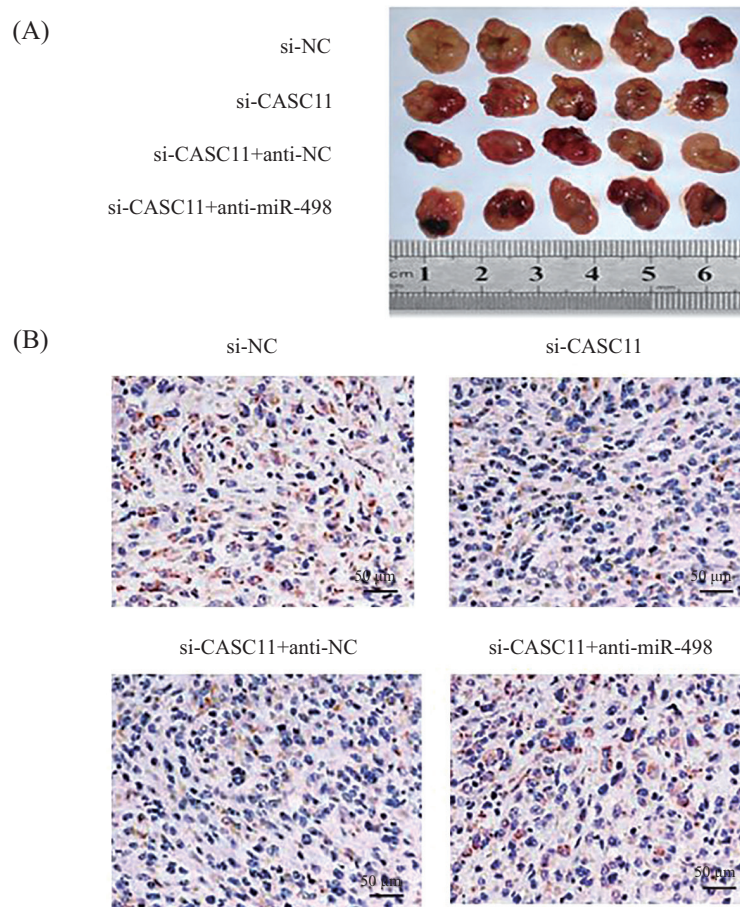
2.7 敲低CASC11通过调节miR-498/LIN28B轴在体内抑制GC的肿瘤发生

与si-NC组相比, si-CASC11组肿瘤体积和肿瘤质

表8 RIP测定CASC11和miR-498与Ago2蛋白的结合
Table 8 RIP determination of CASC11 and miR-498 binding with Ago2 protein

抗体 Antibody	抗体富集 Antibody enrichment	
	CASC11	miR-498
IgG	1.00±0.12	1.03±0.11
Ago2	5.16±0.55	12.74±1.02
<i>t</i>	18.101	27.959
<i>P</i>	0.000	0.000

n=6.



A: 肿瘤大小; B: Ki-67阳性表达(IHC)。

A: tumor size; B: Ki-67 positive expression (IHC).

图5 敲低CASC11对裸鼠移植瘤生长的影响

Fig.5 Effect of knocking down CASC11 on the growth of transplanted tumor in nude mice

量以及肿瘤组织中Ki-67阳性表达显著降低($P<0.05$);与si-CASC11组相比, si-CASC11+anti-NC组肿瘤体积、肿瘤质量和Ki-67表达差异无统计学意义($P>0.05$), si-CASC11+anti-miR-498组肿瘤体积、肿瘤质量、Ki-67阳性表达显著增加($P<0.05$)(图5和表9)。

3 讨论

既往研究表明, lncRNA与GC发展密切相关。

许多lncRNA在GC组织或血浆中差异表达, 并与GC的临床病理特征有关, 可作为GC早期诊断、进展和预后监测的分子标志物^[9]。CASC11位于人类染色体8q24.21, 是GC^[5-6]、膀胱癌^[10]、结直肠癌^[11]、前列腺癌^[12]等癌症中的一种致癌lncRNA。本研究探讨了CASC11在GC中的潜在作用, 并证实CASC11通过海绵化miR-498靶向LIN28B表达来调节GC细胞增殖、凋亡、迁移和侵袭。

表9 敲低CASC11对裸鼠移植瘤生长的影响

Table 9 Effect of knocking down CASC11 on the growth of transplanted tumor in nude mice

组别 Group	肿瘤体积/mm ³ Tumor volume /mm ³				肿瘤质量/g Tumor weight /g	Ki-67阳性细胞/% Ki-67 positive cells /%		
	1周 1 week		2周 2 week					
	3周 3 week	4周 4 week						
si-NC	95.42±14.60	130.16±17.34	247.29±30.15	329.35±36.07	1.39±0.18	40.52±6.13		
si-CASC11	90.38±13.14	125.59±14.26	161.78±21.34 [#]	214.83±27.45 [#]	0.51±0.07 [#]	17.86±3.09 [#]		
si-CASC11+anti-NC	88.75±10.53	124.80±16.31	149.05±23.18 [#]	205.62±29.32 [#]	0.48±0.06 [#]	16.45±2.81 [#]		
si-CASC11+anti-miR-498	93.06±12.47	127.45±18.02	208.56±27.45 ^{#&△}	287.13±32.64 ^{#&△}	1.05±0.13 ^{#&△}	32.12±4.15 ^{#&△}		

n=5; [#]P<0.05, 与si-NC组相比; ^{*}P<0.05, 与si-CASC11组相比; [△]P<0.05, 与si-CASC11+anti-NC组相比。

n=5, [#]P<0.05 compared with si-NC group; ^{*}P<0.05 compared with si-CASC11 group; [△]P<0.05 compared with si-CASC11+anti-NC group.

已经证实, CASC11在GC组织中上调, 且上调的CASC11可促进GC的进展^[5-6]。然而, CASC11在GC进展中的功能机制尚未被完全阐明。与上述研究一致, 本研究发现CASC11在GC细胞系中显著过表达。功能研究表明, CASC11敲低可抑制GC细胞增殖, 裸鼠异种移植瘤模型也验证了敲低CASC11抑制了GC移植瘤体内生长。此外, CASC11的下调抑制了GC细胞的迁移与侵袭, 促进了细胞凋亡。

lncRNA可以充当miRNA的海绵, 通过抑制miRNA对目标转录本的调控来影响miRNA的功能^[13-14]。因此, 本研究进行了生物信息学分析以预测CASC11上的miRNA结合位点, 并证明miR-498是CASC11的潜在靶标。先前的研究表明, CASC11通过靶向miR-498调节非小细胞肺癌发生^[15]。此外, CASC11通过海绵miR-498促进胶质瘤细胞的增殖、迁移和肿瘤生长^[16]。然而, 目前尚未有研究报道CASC11和miR-498之间的相互作用对GC进展的影响。已经证实miR-498在GC组织中的表达水平降低, 与患者预后不良相关, 而miR-498的过表达抑制了GC的进展^[7]。本研究发现, CASC11和miR-498在GC中的表达趋势相反, 且双荧光素酶和RIP分析表明miR-498可以直接与GC细胞中的CASC11结合; 此外, 在GC细胞中敲低CASC11可以增加miR-498的表达量, 且下调miR-498可阻断CASC11敲低对肿瘤的抑制活性。这些结果表明, CASC11可以作为miR-498的海绵来抑制其在GC细胞中的功能。

与靶mRNA 3'-UTR结合的miRNA可以通过转录后机制抑制靶基因的表达。已证明miR-498通过靶向LIN28B^[8]在GC进展中发挥重要作用。LIN28B已被证实在GC细胞中过表达, 并且LIN28B上调与预

后不良和肿瘤复发有关^[17-18]。因此, 本研究主要关注GC中miR-498/LIN28B轴的细胞功能。与之前的研究一致, 本研究观察到在GC细胞系中miR-498表达量降低而LIN28B表达量增加, 并且敲低CASC11上调miR-498表达量的同时可抑制LIN28B表达水平, 而下调miR-498可增加LIN28B表达量, 阻断CASC11对GC细胞增殖、凋亡、迁移和侵袭的影响。

综上所述, CASC11通过充当miR-498的海绵来促进LIN28B表达, 从而影响GC细胞增殖、凋亡、迁移和侵袭。本研究首次证明了CASC11/miR-498/LIN28B轴在GC中的调节功能, 为GC进展的潜在机制研究提供了见解, 再次证实了CASC11可能作为GC发展的潜在治疗靶点。然而, CASC11和miR-498对GC患者预后的影响有待进一步研究。此外, 在未来可能会进行进一步的研究以确定CASC11/miR-498/LIN28B轴是否在GC对化疗试剂的抗性中起作用。

参考文献 (References)

- [1] SMYTH E C, NILSSON M, GRABSCH H I, et al. Gastric cancer [J]. Lancet, 2020, 396(10251): 635-48.
- [2] EUSEBI L H, TELESE A, MARASCO G, et al. Gastric cancer prevention strategies: a global perspective [J]. J Gastroenterol Hepatol, 2020, 35(9): 1495-502.
- [3] LI X, DU Y, WANG Y. The value of LncRNA SNHG5 as a marker for the diagnosis and prognosis of gastric cancer [J]. Am J Transl Res, 2021, 13(5): 5420-7.
- [4] WANG B, XU W, HU C, et al. Critical roles of the lncRNA CASC11 in tumor progression and cancer metastasis: the biomarker and therapeutic target potential [J]. Genes Dis, 2020, 9(2): 325-33.
- [5] SU X, ZHANG J, LUO X, et al. LncRNA LINC01116 promotes cancer cell proliferation, migration and invasion in gastric cancer by positively interacting with lncRNA CASC11 [J]. Onco Targets

- Ther, 2019, 12(1): 8117-23.
- [6] ZHANG L, KANG W, LU X, et al. LncRNA CASC11 promoted gastric cancer cell proliferation, migration and invasion *in vitro* by regulating cell cycle pathway [J]. Cell Cycle, 2018, 17(15): 1886-900.
- [7] YOU D, WANG D, LIU P, et al. MicroRNA-498 inhibits the proliferation, migration and invasion of gastric cancer through targeting BMI-1 and suppressing AKT pathway [J]. Hum Cell, 2020, 33(2): 366-76.
- [8] ZHANG X, LIANG W, LIU J, et al. Long non-coding RNA UFC1 promotes gastric cancer progression by regulating miR-498/Lin28b [J]. J Exp Clin Cancer Res, 2018, 37(1): 134-46.
- [9] XIE Y, RONG L, HE M, et al. LncRNA SNHG3 promotes gastric cancer cell proliferation and metastasis by regulating the miR-139-5p/MYB axis [J]. Aging, 2021, 13(23): 25138-52.
- [10] LUO H, XU C, LE W, et al. lncRNA CASC11 promotes cancer cell proliferation in bladder cancer through miRNA-150 [J]. J Cell Biochem, 2019, 120(8): 13487-93.
- [11] ZHANG Z, ZHOU C, CHANG Y, et al. Long non-coding RNA CASC11 interacts with hnRNP-K and activates the WNT/β-catenin pathway to promote growth and metastasis in colorectal cancer [J]. Cancer Lett, 2016, 376(1): 62-73.
- [12] CAPIK O, SANLI F, KURT A, et al. CASC11 promotes aggressiveness of prostate cancer cells through miR-145/IGF1R axis [J]. Prostate Cancer Prostatic Dis, 2021, 24(3): 891-902.
- [13] GOODALL G J, WICKRAMASINGHE V O. RNA in cancer [J]. Nat Rev Cancer, 2021, 21(1): 22-36.
- [14] WANG J, DING Y, WU Y, et al. Identification of the complex regulatory relationships related to gastric cancer from lncRNA-miRNA-mRNA network [J]. J Cell Biochem, 2020, 121(1): 876-87.
- [15] YAN R, JIANG Y, LAI B, et al. The positive feedback loop FOXO3/CASC11/miR-498 promotes the tumorigenesis of non-small cell lung cancer [J]. Biochem Biophys Res Commun, 2019, 519(3): 518-24.
- [16] JIN J, ZHANG S, HU Y, et al. SP1 induced lncRNA CASC11 accelerates the glioma tumorigenesis through targeting FOXK1 via sponging miR-498 [J]. Biomed Pharmacother, 2019, 116(1): 108968.
- [17] WANG X, HU H, LIU H. RNA binding protein Lin28B confers gastric cancer cells stemness via directly binding to NRP-1 [J]. Biomed Pharmacother, 2018, 104(1): 383-9.
- [18] XU J, ZHOU Y, YANG J, et al. Hypomethylation-activated cancer-testis gene LIN28B promotes cell proliferation and metastasis in gastric cancer [J]. Gene, 2022, 813(1): 146115.